

Автореф  
Т 44

ОДЕССКИЙ ТЕХНОЛОГИЧЕСКИЙ ИНСТИТУТ ПИЩЕВОЙ ПРОМЫШЛЕННОСТИ  
имени М.В.Ломоносова

На правах рукописи

ТРУБОВ ВАЛЕРИЙ ВАЛЕРЬЕВИЧ

УДК 664.726.9.002.5

ШЕЛУШЕНИЕ УВЛАЖНЕННОГО ЗЕРНА ПШЕНИЦЫ В  
ЛОПАСТНОЙ МАШИНЕ ПРИ ПОДГОТОВКЕ К ПОМОЛУ

Специальность 05.18.12 – процессы и аппараты  
пищевых производств

Автореферат  
диссертации на соискание учёной степени  
кандидата технических наук

Одесса - 1987

Автореф.  
Т

- 3 -

### ОБЩАЯ ХАРАКТЕРИСТИКА РАБОТЫ

Актуальность работы. ХХУП съездом КПСС и Продовольственной программой СССР предусмотрено решение задач совершенствования техники и технологии, обеспечивающих получение продукции высокого качества.

Неравномерное распределение питательных веществ по анатомическим частям зерновки пшеницы и трудности их разделения определяют сложность применяемой технологии выработки муки, при которой измельчение и классификация промежуточных продуктов переработки зерна направлены на поэтапное освобождение эндосперма от наружных покровов, что приводит к снижению её качества, вследствие наличия значительной части измельченных оболочек.

В связи с тем, что эффективные способы и средства предварительного отделения наружных покровов до измельчения зерна пшеницы в муку в настоящее время не определены, решение задач совершенствования процесса подготовки его к помолу на основе применения нового оборудования приобретает народнохозяйственную значимость и является актуальным.

Целью работы является обоснование режимов шелушения увлажненного зерна пшеницы в лопастной машине для повышения эффективности процесса подготовки его к помолу.

#### Задачи работы:

аналитическое исследование движения и силового нагружения зерна в рабочей зоне машины под действием вращающихся лопаток ротора;

аналитическое обоснование геометрических параметров рабочих органов шелушильной машины;

составление методик исследования;

изготовление лабораторных установок для комплексного исследования процесса шелушения увлажнённого зерна пшеницы;

экспериментальное исследование ориентации зерновок пшеницы при свободной укладке для обоснования условий обработки их поверхности;

выбор рациональных режимов водной подготовки и шелушения зерна в лабораторной машине и оценка эффективности обработки его поверхности по комплексу технологических, микробиологических и энергетических показателей;

определение величины межзернового давления в рабочей зоне машины, обеспечивающего отделение покровных тканей;

Работа выполнена в Одесском технологическом институте пищевой промышленности имени М.В.Ломоносова.

Научный руководитель: кандидат технических наук,  
доцент И.Р.ДУДАРЕВ .

Официальные оппоненты: доктор технических наук,  
Л.И.МАРНАШЕНКО ;  
кандидат технических наук,  
Б.И.ГОЙХЕНБЕРГ .

Ведущая организация - Одесский комбинат хлебопродуктов.

Защита состоится "16" апреля 1987 г. в 13<sup>00</sup> часов  
на заседании специализированного совета Д 068.35.01 при  
Одесском технологическом институте пищевой промышленности име-  
ща, ул.Свердлова, 112.

Автореф. № 015453  
ТЧЧ Трубов В.В.  
Шелушение увлажненного зерна  
1987 б/ч

зяться в библиотеке Одесского  
й промышленности имени М.В.Ло-

март 1987 г.

Е.Г.КРОТОВ

ОНАХТ 17.05.12  
Шелушение увлажненно



v015753

№ 0 15753

Одесский технологический  
институт пищевой промыш-  
ленности им. М.В.Ломоносова  
библиотека

установление количественных закономерностей контактного влагообмена смеси продуктов шелушения зерна пшеницы; выбор параметров для проектирования промышленного образца лопастной шелушильной машины; проверка режимов шелушения увлажнённого зерна пшеницы в производственных условиях;

производственные испытания и определение технико-экономических показателей работы шелушильных машин.

Научная новизна работы. Аналитически обоснован процесс движения зерна под действием вращающихся лопаток ротора и получены выражения для расчета параметров траекторий и скоростей его в рабочей зоне машины.

Получена математическая модель для расчёта межзернового давления по длине рабочей зоны машины.

Определена взаимосвязь геометрических параметров рабочих органов машины для выбора их рационального сочетания в связи с фрикционными свойствами зерна.

Установлены закономерности изменения углов ориентации зёрен пшеницы при свободной укладке.

Обоснованы закономерности процессов подготовки и шелушения увлажнённого зерна пшеницы в лабораторной и производственной машинах.

Получена модель контактного влагообмена продуктов шелушения зерна пшеницы.

Практическая ценность работы. Получены исходные данные, на основании которых была изготовлена лопастная шелушильная машина, обеспечивающая эффективную обработку поверхности зерна пшеницы при подготовке его к помолу.

Разработаны схемы включения шелушильных машин в технологический процесс зерноочистительного отделения мельниц и показана возможность их рационального применения вместо моечных машин с целью экономии воды.

• Апробация работы. Основные положения работы доложены на Всесоюзных научных конференциях "Механика сыпучих материалов - IУ", Одесса, 1980г., "Пути совершенствования технологических процессов и оборудования для производства, хранения и транспортировки продуктов питания", Москва, 1984г., "Проблемы индустриализации общественного питания страны", Харьков, 1984г.; Межреспубликанской научно-технической конференции молодых учёных по состоянию и перспективам мало-и безотходной технологии и использованию что-

рических материальных ресурсов, Тбилиси, 1985г.; конференции молодых учёных и специалистов ВНИИЗа, Москва, 1983г.; отчетных научно-технических конференциях профессорско-преподавательского состава и научных сотрудников ОТИП им.М.В.Ломоносова, Одесса, 1983, 1984, 1985, 1986 гг.

На защиту выносятся следующие научные положения :

аналитическая модель процесса движения зерна в пределах подвижного объема, увлекаемого вращающимися лопатками ротора;

математическая модель изменения межзернового давления по длине рабочей зоны шелушильной машины;

обоснование геометрических параметров рабочих органов машины в связи с фрикционными свойствами зерна;

закономерности распределения углов ориентации зёрен пшеницы при свободной укладке;

экспериментально обоснованные результаты шелушения увлажнённого зерна пшеницы в лопастной машине;

закономерности контактного влагообмена шелушёного зерна и оболочек при их совместной отлёжке.

Структура и объём работы. Диссертационная работа состоит из введения, пяти глав, выводов и рекомендаций, списка литературы и приложений.

Работа изложена на 114 страницах машинописного текста, содержит 46 рисунков, 6 таблиц и 20 приложений. Список литературы включает 186 наименований, в том числе 15 иностранных.

#### СОДЕРЖАНИЕ РАБОТЫ

В первой главе содержится анализ литературных данных выполненных исследований анатомического строения, гигроскопических и прочностных свойств зерна пшеницы, техники и технологии обработки его поверхности.

Установлена целесообразность отделения при подготовке зерна пшеницы к помолу верхних слоёв плодовой оболочки, состоящих, в основном, из балластных веществ. Показано, что для выполнения этой технологической операции с наименьшими энергозатратами необходимым является предварительное незначительное увлажнение и кратковременное отволаживание зерна, что приводит к снижению прочности связи между плодовой и семенной оболочками.

Анализ данных исследований В.Я.Гиршсона, Н.В.Роменского, П.П.Тарутина, Н.А.Ильвицкого, И.К.Кравченко, И.Г.Дундука, И.Р.Дударева, А.Е.Айзиковича, А.М.Братухина, Б.М.Максимчука и других

позволил установить, что предварительное шелушение зерна пшеницы обеспечивает повышение уровня его продовольственного использования, улучшение качества и питательной ценности муки и может быть рекомендовано при подготовке к помолу.

Анализ конструкций применяемого оборудования для снятия наружных покровов позволил сделать вывод, что шелушение зерна пшеницы наиболее эффективно проводить в лопастных машинах, обеспечивающих обработку его поверхности в условиях межзернового давления с использованием факторов внешнего и внутреннего трения.

В результате обобщения данных выполненных исследований процесса шелушения увлажнённого зерна пшеницы и обработки их на ЭВМ методом последовательных приближений получены многопараметрические эмпирические выражения, анализ которых позволил выявить имеющиеся расхождения по рекомендованным значениям параметров его подготовки и шелушения. В связи с этим, обоснована необходимость разработки новых подходов при выполнении лабораторных исследований и проверки их результатов в производственных условиях.

Во второй главе приведены функциональная и параметрическая схемы (рис. I) процесса шелушения в лопастной машине, по длине которой условно выделены три переходные зоны: I - питающе-распределительная, II - подготовительная, III - интенсивного шелушения и выгрузки, характеризующиеся возрастанием межзернового давления и коэффициента заполнения, что обуславливает переход потока с дискретной укладкой зерновок к двухфазному потоку с плотноупакованной структурой.

Для комплексной оценки эффективности шелушения использовали показатели количества отделяемых оболочек  $C_{об}$ ,%; содержания по - верхностной микрофлоры (бактерий  $C_B$  и грибов  $C_f$ ), тыс./г; сни - жения зольности  $\Delta Z$ ,% и клетчатки  $\Delta K$ ,%; приращения битых зё - рен  $\Delta B$ ,%; содержания крахмала  $C_k$ ,% в отходах шелушения или его потерь  $P_k$ ,%; удельного расхода энергии  $N_{уд}$ ,  $\frac{kВт\cdotч}{т}$  и приращения температуры  $\Delta t$ , $^{\circ}C$  зерна в результате обработки .

Анализ сил, действующих на зерновую массу, транспортируемую лопатками в ограниченном кольцевом объеме рабочей зоны, позволил установить, что они вызывают направленное радиально-осевое пере - мещение зёрен по винтовым траекториям переменного шага, располагаемым на конических поверхностях. По результатам предварительных экспериментальных исследований аналога шелушильной машины полу - чены выражения для расчёта параметров траекторий, характеризуе - мых числом круговых циклов  $N$  поворота зёрен, их радиальным  $\tau$

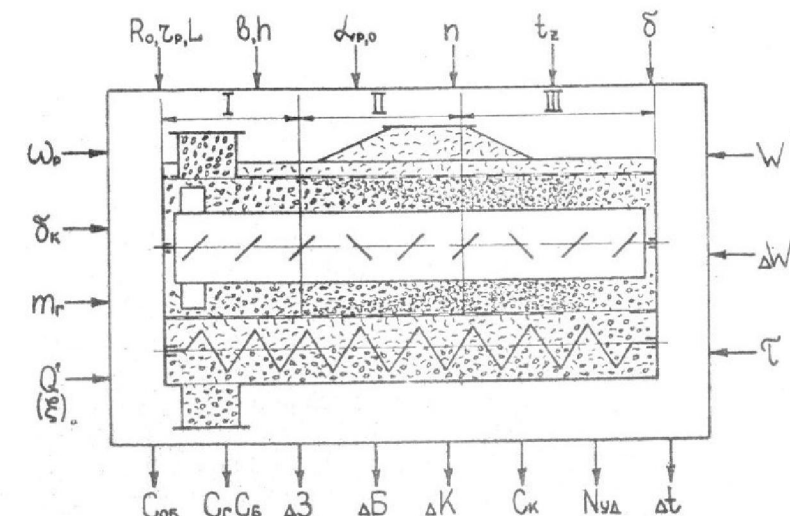


Рис. I. Функциональная и параметрические схемы процесса шелу - шения в лопастной машине :

$R_o$  - радиус обечайки;  $\tau_p$ ,  $L$  - радиус и длина ротора;  $\alpha_{p,0}$  - угол атаки рабочих и отражающих лопаток;  $n$ ,  $t_z$  - число рядов и их осевой шаг;  $\delta$  - радиальный зазор между лопатками и обечайкой;  $\omega_p$  - угловая скорость ротора;  $\delta_k$  - выпускной зазор;  $m_r$  - масса грузов подпорного клапана;  $Q'$  - подача зерна;  $\xi$  - коэффициент заполнения рабочей зоны;  $W$ ,  $\Delta W$  - влажность и величина увлаж - нения зерна;  $T$  - время отвоживания.

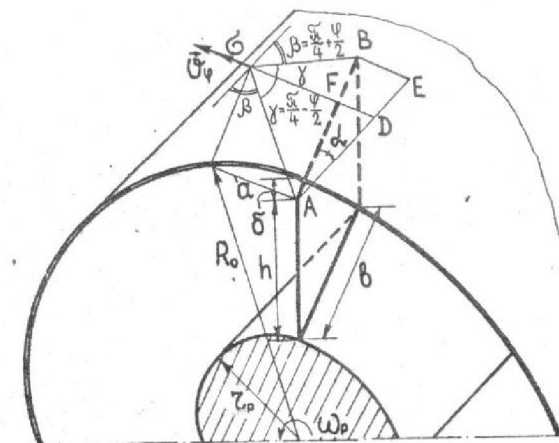


Рис.2. Расчёчная схема к определению осевого перемещения зерна лопаткой.

и осевым  $Z$  перемещением в пределах подвижного зернового объёма длиной  $l_0$ , увлекаемого лопатками ротора.

Для определения закономерностей движения зерна в зоне действия лопаток и использования полученных результатов при расчёте шелушильной машины выполнен анализ поля скоростей при следующих допущениях: поле является симметричным  $\frac{\partial U_r}{\partial \varphi} = \frac{\partial U_z}{\partial \varphi} = \frac{\partial U_\varphi}{\partial \varphi} = 0$ , где  $U_r$ ,  $U_z$ ,  $U_\varphi$  – соответственно радиальная, осевая и окружная составляющие результирующей скорости зерновок; дивергенция вектора переноса равна нулю  $\nabla \cdot (\rho \vec{U}) = 0$ ; в рассматриваемой области принята осреднённая функция плотности  $\vartheta(\tau; Z) = \text{const}$ . Третье допущение обуславливает то, что полученные результаты распространяются только на приёмную и переходную зоны машины.

Используя уравнения неразрывности и вихря в цилиндрических координатах, с учётом принятых допущений при условии перпендикулярности вихря вектору абсолютной скорости получена система дифференциальных уравнений

$$\begin{aligned} \frac{\partial U_r}{\partial \tau} + \frac{\partial U_z}{\partial Z} + \frac{\partial U_\varphi}{\partial Z} &= 0, \\ -\frac{\partial U_\varphi}{\partial Z} (U_r + \left( \frac{\partial U_r}{\partial Z} - \frac{\partial U_z}{\partial \tau} \right) U_\varphi + \frac{1}{\tau} \frac{\partial (\tau U_\varphi)}{\partial \tau} U_z) &= 0, \end{aligned} \quad (1)$$

решение которой при  $U_\varphi = C \cdot \tau$  ( $C = \text{const}$ ) позволило получить расчётные выражения радиальной и осевой скоростей для любой точки с координатами  $(\tau; Z)$  в пределах подвижного объёма зерна, увлекаемого лопатками

$$U_r = a e^{-\lambda Z} (R_o^2 - \tau^2), \quad (2)$$

$$U_z = A - a e^{-\lambda Z} [R_o^2 (1 + l_0 \tau) - (5 \tau^2)], \quad (3)$$

где  $A$ ,  $a$ ,  $\lambda$  – постоянные коэффициенты.

Выражения для определения средней осевой скорости  $\bar{U}_z$  в сечении  $Z$  и осреднённой  $\bar{U}_z^*$  по увлекаемому объёму имеют вид

$$\bar{U}_z = A - a e^{-\lambda Z} \left\{ R_o^2 + \frac{R_o^2 [R_o (l_0 R_o - 1) - \tau_p (l_0 \tau_p - 1)] - 0.5 (R_o^3 - \tau_p^3)}{R_o - \tau_p} \right\}, \quad (4)$$

$$\bar{U}_z^* = A + \frac{a c}{l_0 \lambda} \left( e^{-\lambda l_0} - 1 \right). \quad (5)$$

Исходя из условий предельного равновесия сыпучей зерновой среды, характеризуемой углом внутреннего трения  $\psi$ , и увлекаемости лопатками в совместное движение объёма зёрен, расположенного на их рабочих плоскостях (рис.2), получено выражение

$$\bar{U}_z^* = \omega_p b \left[ 2 \frac{\sin \left( \frac{\pi}{4} + \frac{\psi}{2} + \lambda \right) \cos \left( \frac{\pi}{4} + \frac{\psi}{2} \right)}{\cos \psi} - \cos \lambda \right], \quad (6)$$

анализ которого показал, что  $\bar{U}_z^*$  не зависит от размеров рабочей зоны машины. Правомерность этого вывода может быть доказана при условии выполнения равенства выражений (5) и (6), тогда переход от значений осевой скорости зерна в аналоге к значениям её в машине, характеризуемой другими величинами  $b'$ ,  $\omega_p'$ ,  $l'$  будет осуществляться по выражению

$$\bar{U}_z^* = \bar{U}_z \frac{b'}{b} \frac{\omega_p}{\omega_p'} \frac{l'}{l} \frac{R'}{R}, \quad (7)$$

где  $l = l(\psi; \lambda)$ ;  $R$  – радиус окружности, описываемой верхней кромкой лопаток.

Для выбора рационального сочетания геометрических параметров рабочих органов машины с учётом фрикционных свойств зерна получено выражение

$$b \frac{\sin \left( \frac{\pi}{4} + \frac{\psi}{2} + \lambda \right) \sin \left( \frac{\pi}{4} + \frac{\psi}{2} - \lambda \right)}{\cos \psi \cos \lambda} < \sqrt{\delta [2(\tau_p + h + \delta) - \delta]}. \quad (8)$$

Производительность лопастной машины определяли по выражению

$$Q = 11.3 (R_o^2 - \tau_p^2) \vartheta_h \bar{U}_z \xi_1 \xi_2, \quad (9)$$

где  $\vartheta_h$  – насыпная плотность зерна;  $\xi$  – среднее по длине рабочей зоны значение коэффициента заполнения.

Анализ напряжений, возникающих в зерновой массе под действием лопастного ротора, позволил установить, что изменение величины межзернового давления по длине рабочей зоны машины при неизначительном осевом шаге рядов лопаток можно аппроксимировать линейной зависимостью и определить по выражению

$$P_{M3} = \frac{\vartheta_h \xi_1}{3 R_o} \omega_p^2 (R_o^3 - \tau_p^3) [1 + K(n-1)] m \sqrt{1 + \xi^2}, \quad (10)$$

где  $\xi_1$  – коэффициент заполнения в зоне действия первого ряда лопаток;  $K$  – коэффициент, учитывающий возрастание давления по отношению к давлению, развиваемому в зоне первого ряда;  $n$  – номер ряда лопаток;  $m$  – коэффициент, учитывающий изменение сопротивления при выпуске зерна из машины;  $\xi$  – коэффициент бокового давления.

В третьей главе приведены программа экспериментальных исследований, составленная в соответствии с задачами работы, описание экспериментальных установок: аналога и лабораторной шелушильной машины, методики исследования, статистического анализа, планирования и обработки опытных данных.

Объектами исследований были выбраны два сорта зерна пшеницы Степняк и Чайка с различными структурно-механическими свойствами.

Конструкция аналога шелушильной машины представляла фрагмент её рабочей зоны с одним радиальным рядом поворотных сменных лопаток и позволяла определить величины осевого усилия  $F_z$  (давления  $P_z$ ) зерновой массы, приведенной силы трения  $F$  зерна и крутящего момента  $M_{kp}$ (мощности  $N$ ) на валу электродвигателя, а также установить методом стrobоскопической съёмки длину подвижного слоя  $l_0$  зерна, увлекаемого в движение лопатками, траекторные и скоростные характеристики зерновок, контактирующих с обечайкой, имеющей съёмную вставку из оргстекла. Лабораторная шелушильная машина включала ротор с комбинацией рядов рабочих и отражающих лопаток, окружённый разъёмной обечайкой, набранной из элементных сит колосникового типа. Регулирование межзернового давления и пропускной способности машины осуществлялось изменением площади кольцевого сечения между диффузором и запорным диском, перемещаемым в осевом направлении с помощью винтового механизма. Для стабилизации давления и предотвращения перегрузки машины использовался грузовой клапан.

Статистический анализ экспериментальных данных предусматривал определение грубых ошибок, закона распределения и доверительного интервала измеряемой величины, а также необходимого числа повторностей опытов.

Математическую модель исследуемого процесса получали на основе реализации усечённого многофакторного плана с обработкой результатов эксперимента методом интерполяции и представлением функций отклика в виде полиномов второй степени при условии независимости характера монотонности частных производных по переменным каждого фактора. Проверку соответствия моделей экспериментальным данным проводили по  $F$  - критерию. Оптимальные значения функций отклика определяли точкой, координаты которой принимали экстремальные значения в соответствии со знаками и значениями частных производных.

Для установления соответствия экспериментальных и расчётных значений функций при их аппроксимации определяли относительную среднеквадратическую погрешность, величина которой не должна была превышать 10%.

В четвертой главе приведены результаты экспериментальных исследований движения и силового нагружения зерна в аналоге шелушильной машины, процессов подготовки и шелушения увлажнённой пшеницы в лабораторной машине.

Для обоснования условий равномерной обработки поверхности

зерна в рабочей зоне лопастной машины исследовали распределение угла  $\Psi$  ориентации большой оси моделей зерновок случайной укладки, значение которого рассчитывали по выражению

$$\Psi = \arcsin \sqrt{\frac{L^2 - X^2}{L^2 + D^2}}, \quad (II)$$

где  $L$  и  $D$  - длина и ширина моделей зерновок;  $X$  - горизонтальная проекция их большой оси.

Анализ полученной гистограммы показал, что основная ориентация зерновок находится в интервале  $[0; 20^\circ]$ , что составляет 70,6% от общего их числа. Поэтому для устранения анизотропии упруго-пластических свойств зернового слоя, имеющей место при неравновероятной ориентации отдельных зерновок в смеси, необходимым является интенсивное перемешивание зерна, что обеспечит равномерную обработку его поверхности.

Исследованиями аналога шелушильной машины при  $\xi = 0,5 \dots 0,6$  и  $\delta = 6$  мм, удовлетворяющем условию (8), установлено (рис.3), что независимо от угла атаки лопаток происходит уменьшение реэмульсирующей скорости движения зерна  $\bar{U}'$  на отрезке  $Z$  до его полной остановки на расстоянии  $l_0$ . При этом величина  $l_0$  может быть рекомендована в пределах  $45 \dots 50^\circ$ , а линейная скорость  $\bar{U}$  концов лопаток ротора 16 м/с, что соответствует  $\omega_r = 82,5$  рад/с.

По экспериментальным осреднённым траекториям зёрен на поверхности обечайки аналога представилось возможным получить окружную  $\bar{U}_\theta$  и осевую  $\bar{U}_z$  составляющие их реэмульсирующей скорости (рис.4) и, используя выражение (3) при  $\tau = R_0$ , методом средних определить значения коэффициентов  $A$ ,  $a$  и  $\lambda$ , после подстановки которых выражения (2,3,4) приняли вид

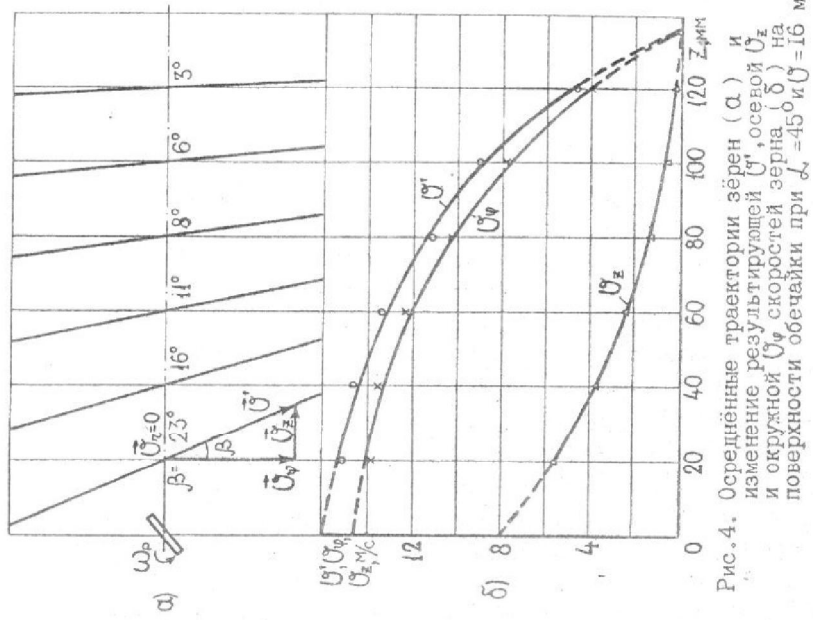
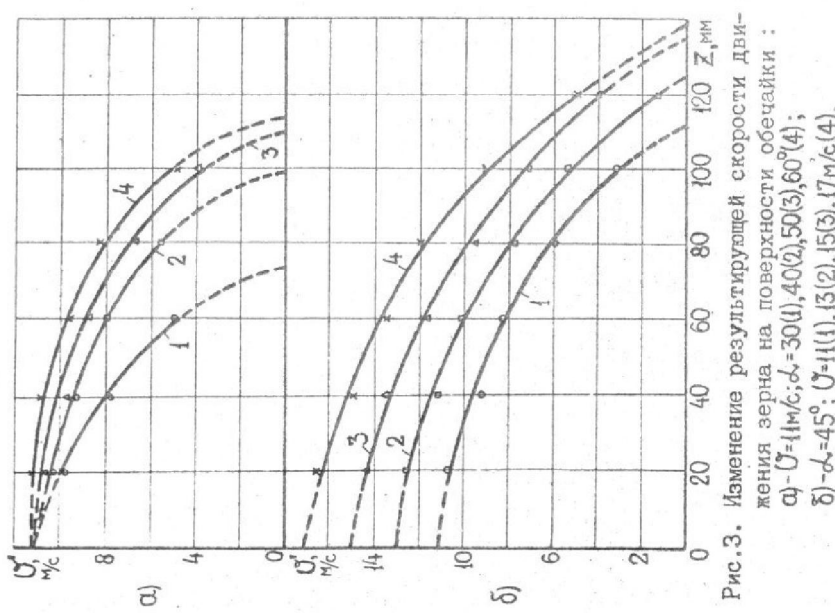
$$\bar{U}_r = 113,15 \cdot e^{-1563 \cdot \tau} (0,04 - \tau^2), \quad (12)$$

$$\bar{U}_z = -1,31 - 113,15 \cdot e^{-1563 \cdot \tau} [0,04(1 + \ln \tau) - 1,5 \tau^2], \quad (13)$$

$$\bar{U}_\theta = -1,31 + 849 \cdot e^{-1563 \cdot \tau}. \quad (14)$$

Анализ графических зависимостей, построенных по выражениям (12, 13, 14), позволил выявить характер изменения радиальной и осевой скоростей зерна и установить, что величина  $\bar{U}_r$  незначительна по сравнению с  $\bar{U}_z$ . Однако действие этих составляющих вызывает радиально-осевое перемещение зёрен по сложной винтовой траектории и обеспечивает значительную величину их пути.

Расчётами определено, что при  $l_0 = 140$  мм максимальное число круговых циклов поворота зерновок до контакта с обечайкой состав-



ляло 24. Для обеспечения достаточной транспортирующей способности машины осевой шаг  $t_z$  рядов лопаток на роторе рекомендован в пределах 50 мм, при котором  $\bar{U}_z = 2,6 \text{ м/с}$ .

При принятых геометрических размерах рабочей зоны аналога и значениях  $\delta = 45^\circ$ ,  $\psi = 28^\circ$ ,  $\omega_p = 82,5 \text{ рад/с}$  определено равенство выражений (5) и (6) и доказана возможность использования (7) при расчёте шелушильной машины.

Выполненным экспериментальными исследованиями влияния угла атаки  $\delta$  и величины радиального зазора  $\delta$  на показатели  $F$ ,  $P_z$  и полезные энергозатраты  $N_p$  установлены рациональные значения  $\delta = 45..55^\circ$  и  $\delta = 5..10 \text{ мм}$ , при которых достигается максимальное силовое нагружение зерна, необходимое для эффективного отделения оболочек.

При изготовлении лабораторной шелушильной машины её параметры выбирались на основе проведенных выше аналитических и экспериментальных исследований. Приняв радиус ротора  $r_p = 0,06 \text{ м}$ , определено, что при  $\delta = 7 \text{ мм}$ ,  $\delta = 45^\circ$  и  $\psi = 28^\circ$  неравенству (8) удовлетворяет соотношение размеров лопаток  $b \times h = 0,03 \times 0,04 \text{ м}$ , тогда радиус обечайки  $R_o = 0,107 \text{ м}$ .

Учитывая существенное влияние кольцевого зазора  $\delta_k$  выпускного зазора на эффективность процесса шелушения, были получены зависимости, описываемые эмпирическими выражениями

$$C_{\delta k} = 0,1\delta_k - 4,04 \cdot 10^{-2}\delta_k^2 + 142 \cdot 10^{-3}\delta_k^3 + 347, \quad (15)$$

$$\Delta B = -0,184\delta_k + 5 \cdot 10^{-3}\delta_k^2 + 1,8, \quad (16)$$

$$Q = 0,252\delta_k - 6,41 \cdot 10^{-3}\delta_k^2 + 2,2 \cdot 10^{-2}, \quad (17)$$

$$N_{\text{уд}} = 1,37\delta_k + 4,38 \cdot 10^{-2}\delta_k^2 + 12,45, \quad (18)$$

анализ которых показал, что технологически целесообразное сочетание параметров  $C_{\delta k} = 2,7\%$ ,  $\Delta B = 0,7\%$ ,  $Q = 1,5 \text{ т/ч}$  и

$N_{\text{уд}} = 4,2 \frac{\text{kВт}\cdot\text{ч}}{\text{т}}$  достигается при  $\delta_k = 7 \text{ мм}$ .

Определив зависимости изменения  $\xi$  и  $C_{\delta k}$  по длине рабочей зоны лабораторной машины, представилось возможным преобразовать выражение (10), приняв, что возрастание межзернового давления пропорционально увеличению коэффициента  $\xi_1$  в зоне действия первого ряда лопаток.

Введем безразмерный комплекс

$$t = \frac{P_z}{S_m \xi \bar{U}_z^2}, \quad (19)$$

по известному значению осевого давления  $P_z$ , полученному в ана-

логе при  $\delta = 45^\circ$  и  $\delta = 7$  мм, находили коэффициент  $\zeta$ . Тогда уточнённое выражение для определения конечной величины межзернового давления запишется в виде

$$P_{M3} = \sqrt{\frac{S_h \xi^2}{9R_o^2}} \omega_p^4 (R_o - \tau_p)^2 + P_z^2 \left( \frac{b}{f} \frac{\omega_p}{\omega_p} \frac{l'}{l} \right)^4 \times \\ \times [1 + 0,39(n_1 - 1)][1 + 0,043(n_2 - 1)][1 + 0,017(n_3 - 1)] \cdot m, \quad (20)$$

где  $n_{1,2,3}$  - номера последних рядов лопаток в выделенных зонах машины.

Расчётом определено, что при  $\delta_k = 7$  мм максимальная величина межзернового давления, обеспечивающего эффективное отделение покровных тканей, составляла 18,0...18,5 кПа.

Используя экспериментальную зависимость  $Q = f(\delta_k)$ , определяли значение коэффициента  $\eta_1 = 0,08$  и с учётом (7) получили выражение для расчёта производительности лопастной машины

$$Q = 0,9(R_o^2 - \tau_p^2) S_h \xi \bar{U}_z \frac{b}{f} \frac{\omega_p}{\omega_p} \frac{l'}{l} \frac{(R_o - \delta)}{R} \eta_2, \quad (21)$$

которое применяли при выборе геометрических размеров рабочей зоны промышленного образца шелушильной машины, обеспечивающих при заданном кинематическом режиме производительность в требуемых пределах.

В результате реализации матрицы планирования и обработки данных на ЭВМ получены математические модели, устанавливающие зависимости показателей эффективности шелушения, характеризуемой количеством отделяемых оболочек  $S_{ob}$ , содержанием грибов  $C_g$  и бактерий  $C_b$  на поверхности зерна, от входных параметров  $\Delta W = 2...4\%$ ,  $T = 10...20$  мин,  $\delta = 5...9$  мм,  $Q = 0,8...1,2$  т/ч.  $S_{ob} = 4,3\Delta W - 0,7\Delta W^2 + 0,33T - 10^{-2}T^2 + 0,55\delta - 5 \cdot 10^{-2}\delta^2 + 11,75Q - 3,75Q^2 - 17,1$ , (22)

$$C_g = -0,23\Delta W + 4 \cdot 10^{-2}\Delta W^2 - 2,6 \cdot 10^{-2}T + 8 \cdot 10^{-4}T^2 - 4 \cdot 10^{-2}\delta + 3,8 \cdot 10^{-3}\delta^2 - 0,75Q + 0,25Q^2 + 1,22, \quad (23)$$

$$C_b = -85\Delta W + 1,3\Delta W^2 - 5 \cdot 10^{-2}T^2 - 1,45\delta + 0,14\delta^2 - 57,5Q + 25Q^2 + 60. \quad (24)$$

Анализ выражений позволил определить рациональные значения исследуемых параметров и их долевое влияние в порядке убывающей значимости: 1.  $Q = 1,2$  т/ч, 2.  $\Delta W = 3\%$ , 3.  $\delta = 6$  мм, 4.  $T = 16...17$  мин.

Для комплексной оценки эффективности процесса при выбранном

режиме проведено шелущение двух сортов исследуемых пшениц с однократным пропуском зерна через машину и определены показатели качества продуктов шелушения, приведенные в таблице I, где  $\Delta Y$  - их относительное изменение.

Таблица I

Показатели качества продуктов шелушения зерна  
пшениц Степняк и Чайка

Показатели, %	Степняк			Чайка		
	Пропуск		$\Sigma$	Пропуск		$\Sigma$
	первый	второй		первый	второй	
$S_{ob}$	2,58	1,05	3,63	3,00	0,86	3,86
$P_k$	0,40	1,14	1,54	0,52	0,94	1,46
$\Delta B$	0,93	1,52	2,45	0,67	1,39	2,06
$\Delta Z$	0,03	0,01	0,04	0,04	0,02	0,06
$\Delta Z'$	1,8	0,6	2,4	2,2	1,1	3,3
$\Delta K'$	33,3	8,3	41,6	39,1	8,7	47,8
$\Delta C_g$	78,3	8,7	87,0	76,2	7,1	83,3
$\Delta C_b$	99,7	0,1	99,8	99,9	0	99,9

Анализ полученных данных позволил установить, что при однократном шелущении обеспечивается достаточная эффективность обработки поверхности зерна при незначительных потерях крахмала, приращении битых зёрен и удельных энергозатратах не более  $4 \frac{\text{кВт}\cdot\text{ч}}{\text{т}}$ . Учитывая существенное улучшение санитарно-гигиенического состояния поверхности зерна, возможно рекомендовать использование шелушильных машин на мельницах вместо моечных, занимающих большие производственные площади и требующих значительного расхода воды.

В результате анализа химического состава продуктов шелущения новых сортов мягкой и твёрдой пшениц установлено увеличение в шелушёном зерне относительного содержания белка, крахмала, жира и клейковины, что свидетельствует о повышении его питательной ценности по сравнению с нешелушёенным.

По данным исследования изменения влажности шелушёного зерна и отделённых оболочек влажностью около 40% ( $\Delta W = 3\%$ ) при их совместной отлежке получена система эмпирических уравнений

$$W_{ob} = -0,216T + 4,62 \cdot 10^4 T^2 + 39,43, \quad (25)$$

$$W_{sh} = 5,25 \cdot 10^3 T + 14,42,$$

решение которой при  $W_{ob} = W_{sh}$  позволило получить значение

$T = 240$  мин, соответствующее времени достижения равновесной влажности смеси равной 15,3% и находящейся в пределах, установленных Правилами.

В пятой главе приведено описание конструкции серийной промышленной лопастной шелушильной машины УІ-БШР и результаты её производственных испытаний.

По результатам испытаний машины, установленной на Киевском КХП в линии зерноочистительного отделения мельницы 85%-ного помола пшеницы производительностью 110 т/сут, методом многофакторного планирования определён оптимальный режим шелущения, согласующийся с данными лабораторных исследований и обеспечивающий эффективную обработку поверхности зерна, характеризующуюся снижением зольности и клетчатки соответственно на 0,06% и 0,54% и приращением битых зёрен не более 0,8%.

С участием Горьковской МИС на Керченском КХП были проведены испытания трёх опытных образцов машин УІ-БШР, установленных вместо моечных на мельнице двухсортного 78%-ного помола пшеницы производительностью 310 т/сут. Определено, что машины соответствуют требованиям техники безопасности и промсанитарии и обеспечивают заданную производительность 6,7...7,2 т/ч, при которой съём оболочек составлял 2...1%, а удельный расход энергии не превышал 3,05  $\frac{\text{кВт}\cdot\text{ч}}{\text{т}}$ . По результатам испытаний межведомственной приёмочной комиссией шелушильная машина УІ-БШР рекомендована к постановке на серийное производство.

Включение шелушильной машины в технологический процесс мельницы двухсортного 78%-ного помола пшеницы производительностью 120 т/сут Кировоградского КХП позволило увеличить общий выход муки на 0,8% с увеличением первого сорта на 2,12%, снижением второго сорта на 1,25% и получить годовой экономический эффект в размере 66 тыс.руб.

## ВЫВОДЫ И РЕКОМЕНДАЦИИ

1. Обобщением результатов выполненных научно-исследовательских работ по строению и свойствам зерна пшеницы установлена необходимость отделения верхних слоёв плодовой оболочки при подготовке его к помолу.

2. Доказана целесообразность применения лопастных машин непрерывного действия для эффективного шелущения увлажнённого и кратковременно отволоженного зерна пшеницы при обработке его в рабочей зоне с использованием факторов межзернового давления,

внешнего и внутреннего трения при интенсивном перемешивании слоёв зерна.

3. Получены математические модели процессов движения и силового нагружения зерна под действием вращающихся лопаток и установлены взаимосвязь между геометрическими параметрами рабочих органов машины с учётом фрикционных свойств зерновой смеси.

4. Исследованиями аналога шелушильной машины обоснованы рациональные значения окружной скорости лопаток ротора  $\Omega = 16$  м/с, угла атаки  $\lambda = 45\dots 50^\circ$ , радиального зазора  $\delta = 6$  мм и осевого шага их рядов  $t_z = 0,045\dots 0,050$  м, а также установлены траектории движения, радиальные, осевые и окружные компоненты скорости зерна в пределах увлекаемых лопатками слоёв. Приведены рекомендации по использованию полученных результатов при расчёте шелушильных машин.

5. Установлена прямая зависимость между расходом энергии  $N_{уд}$  на процесс шелущения и количеством отделяемых оболочек  $C_{об}$  и обратная зависимость этих показателей от производительности  $Q$  машины. Технологически целесообразные значения  $C_{об} = 2,7\%$ ,

$N_{уд} = 4,2 \frac{\text{кВт}\cdot\text{ч}}{\text{т}}$  и достаточная величина  $Q$  достигаются при величине выпускного зазора  $\delta_k = 7$  мм, обеспечивающей межзерновое давление в зоне выпуска в пределах 18,0...18,5 кПа.

6. Обоснованы параметры подготовки зерна к шелущению, характеризуемые увлажнением на 3% и продолжительностью отволаживания 16...17 мин, при которых съём оболочек достигал 3%, а приращение битых зёрен не превышало 0,9%.

7. Определено улучшение санитарно-гигиенического состояния поверхности шелушёного зерна (снижение содержания грибов и бактерий соответственно 76...78% и 99%), что позволило рекомендовать использование шелушильных машин на мельницах вместо моечных.

8. Рекомендовано сушку отделённых оболочек влажностью до 40% проводить на основе контактного влагообмена в смеси продуктов шелущения в течение 4...5 часов до достижения равновесной влажности 15,0...15,5%, что подтверждено в производственных условиях.

9. На основе обобщения результатов исследований получены исходные данные, по которым изготовлены опытные образцы лопастной шелушильной машины УІ-БШР производительностью 6,6...7,6 т/ч, обеспечивающей эффективную обработку поверхности зерна пшеницы при подготовке его к помолу. Разработаны схемы включения шелушильных машин в технологический процесс зерноочистительного отделения мельниц.

№ 015753

10. По результатам испытаний на Керченском и Кировоградском комбинатах хлебопродуктов машина УІ-БШР рекомендована к постановке на серийное производство.

11. Реальный годовой экономический эффект от внедрения шелушильной машины на мельнице двухсортного 78%-ного помола пшеницы производительностью 120 т/сут, полученный за счёт увеличения общего выхода и перераспределения ассортимента муки, составил 66 тыс.руб.

Основное содержание диссертации опубликовано в работах:

1. Соловьев А.А., Трубов В.В., Кутаров В.В. Исследование процесса массообмена увлажнённых оболочек и ошелушённого зерна ячменя // Тезисы докл. Всесоюз. конф. "Механика сыпучих материалов".- Одесса.- 1980.- С.128.
2. Дударев И.Р., Трубов В.В., Санчез В.Ф. Обработка поверхности зерна без применения моечного процесса // Тезисы докл. Всесоюз конф. "Пути совершенствования технологических процессов и оборудования для производства, хранения и транспортировки продуктов питания"- М.- 1984.- С.17.
3. Сердюк Л.В., Трубов В.В., Овсянникова Л.К. Характеристика продуктов шелушения зерна новых сортов сильных и твёрдых пшениц // Тезисы докл. Всесоюз. конф. "Пути совершенствования технологических процессов и оборудования для производства, хранения и транспортировки продуктов питания".-М.-1984.-С.23.
4. Повышение питательной ценности пшеничной крупы из шелушёного зерна / П.В.Данильчук, И.Р.Дударев, В.В.Трубов и др.// Тезисы докл. Всесоюз. науч. конф. "Проблемы индустриализации общественного питания страны".-Харьков.-1984.- С.264-265.
5. Соловьев А.А., Трубов В.В. Безотходная технология производства перловой и ячневой крупы // Тезисы докл. Всесоюз. науч. конф. "Проблемы индустриализации общественного питания страны".- Харьков.- 1984.- С.131.
6. Изменение микрофлоры поверхности зерна пшеницы в связи с шелушением / В.Ф.Санчез, В.В.Трубов, И.Р.Дударев, Г.И.Евдокимова; ОТИП им.М.В.Ломоносова.- Одесса, 1984.- 8 с.-Библиогр.: З назв.- Деп. в ВИНИТИ I.06.84 № 467зг- Д84.
7. Энергетическая оценка роторно-лопастного смесителя непрерывного действия / В.А.Гамолич, В.В.Трубов, И.И.Дударев и др.; ОТИП им.М.В.Ломоносова.- Одесса, 1984.- 9 с.- Библиогр.: 5 назв.- Деп. в ВИНИТИ I.06.84 № 468зг - Д84.

8. Исследование качества зерна новых сортов сильной и твёрдой пшеницы при шелушении в лопастной машине / П.В.Данильчук , В.В.Трубов, Л.К.Овсянникова, Л.В.Сердюк; ОТИП им.М.В.Ломоносова.- Одесса, 1984.- 7 с.- Библиогр.: 5 назв.- Деп. в ВИНИТИ I.06.84 № 469зг - Д84.
9. Трубов В.В., Дударев И.Р., Гамолич В.Я. Результаты производственных исследований шелушения увлажнённой пшеницы при подготовке её к помолу // Материалы Межреспубл. науч.-техн.конф. молодых учёных по состоянию и перспективам мало- и безотходной технологии и использованию вторичных материальных ресурсов.- Тбилиси.- 1985.- С.173-174.

8/19-

БР 02075. Подъ к печати 13.03.87 г. Формат 80 x 84 1/16.  
Об'єм 0,8 усл.л., 1,0 л. л. Заказ № 1843. Тираж 100 экз.  
Гор tipография Одесского облполиграфиздата, пох № 3,  
Линия, 49.